

# 斜拉网格结构的风振响应分析

吴建华<sup>1</sup>,梁 信<sup>2</sup>,岑 伟<sup>3</sup>

(1. 浙江科技学院 建筑工程学院,杭州 310023;2. 云南省城乡规划设计研究院,昆明 650228;  
3. 中南大学 土木系,长沙 410083)

**摘要:**在简要介绍脉动风荷载的生成及拉索的多单元有限元模型的基础上,采用随机振动的动力时程法计算某斜拉网格结构的风振响应,并进行了参数分析。计算结果表明,与无拉索的网格结构相比,斜拉网格结构的脉动响应较小。在斜拉网格中考虑拉索本身风振与不考虑拉索本身风振,结构的风振响应差别较小。拉索的脉动响应主要与其所处的位置有关。

**关键词:**斜拉网格结构;脉动风;多单元;风振响应

中图分类号: TU311.3 文献标识码: A 文章编号: 1671-8798(2006)01-0035-04

## Wind-Excited Vibration of the Cable-Stayed Spatial Latticed Structure

WU Jian-hua<sup>1</sup>, LIANG Ji<sup>2</sup>, CEN Wei<sup>3</sup>

(1. School of Architecture and Civil Engineering, Zhejiang University of Science and Technology, Hangzhou 310023, China;  
2. Urban Rural Planning and Design Institute of Yunnan, Kunming 650228, China;3. Department of Civil Engineering, Zhongnan University, Changsha 410083, China)

**Abstract:** The random wind and multi-element model of the cable were introduced. The wind-excited vibration of the cable-stayed spatial latticed structure was analyzed by the method of dynamic time-history, and effects of parameters were discussed. The numerical results showed that the wind-excited response of the cable-stayed spatial latticed structure is smaller than that of the spatial latticed structure, and the wind-excited vibration of cables has a little influence on the structure. The response of the cable depends on its position.

**Key words:** cable-stayed spatial latticed structure; random wind; multi-element model; wind-excited vibration

斜拉网格结构是斜拉结构的一个分支,它是塔柱、网格结构和斜拉索协同工作的一种空间组合结

构。它的工作机理是利用斜拉索作为网格结构的弹性支承点,以减小网格结构构件的内力。

---

收稿日期: 2005-08-01

基金项目:浙江省教育厅科研基金资助项目(20010438)

作者简介:吴建华(1964— )男,浙江义乌人,副教授,国家一级注册结构工程师,主要从事结构加固设计、钢结构和力学等方面的教学与研究。

斜拉网格结构已有广泛的应用,在静力和抗震等研究方面,许多学者已做了不少工作<sup>[1-3]</sup>,但在结构风振方面的研究还不多,而且没有考虑拉索本身风振的影响<sup>[4-6]</sup>。本文在多单元法<sup>[7,8]</sup>分析单索的基础上,对斜拉网格结构进行了风振响应研究,探讨了竖向风作用和考虑拉索的风振作用对结构风振响应的影响。

## 1 风荷载的表达

风荷载由伯努利方程导出,对于结构中任意一个节点*i*有:

$$P = \frac{1}{2} \mu_s \rho A V_{ij}^2 \quad (1)$$

式(1)中: $\mu_s$ 为*i*点的体型系数, $\rho$ 是空气密度, $A$ 为节点的相关面积, $V_{ij}$ 为*i*点的风速,此风速考虑了*i*,*j*两点空间相关性,通常假设为 $V_{ij} = \bar{v}$ (平均风)+ $v$ (脉动风)。其中,平均风的高度变化规律用对数关系式表达<sup>[9]</sup>,而脉动风考虑空间相关性,通过互谱函数用AR方法<sup>[10-12]</sup>计算模拟而得。

对于两个点*i,j*之间风速互谱密度的实数部分可以用下式表达出来<sup>[9]</sup>:

$$s_u^{ij}(n) = \sqrt{s_u^{ii}(n)s_u^{jj}(n)} \cdot \text{coh}(i, j, n) \quad (2)$$

式(2)中: $s_u^{ii}(n)$ 和 $s_u^{jj}(n)$ 为风速自谱密度函数, $\text{coh}(i, j, n)$ 为相干函数,且

$$\text{coh}(i, j, n) =$$

$$\exp \left\{ \frac{-2n[36(x_j - x_i)^2 + 256(y_j - y_i)^2 + 100(z_j - z_i)^2]^{1/2}}{(v_i + v_j)} \right\} \quad (3)$$

取自回归阶数4,时间步长0.1 s,总时间步1 024步,按B类地貌,空气密度 $\rho = 1.25 \text{ kg/m}^3$ ,水平风采用沿着高度变化的Kaimal谱,地面粗糙长度为0.2;竖向风采用Panofsky谱,地面粗糙度系数为0.0375,求得10 m高度处,单点脉动风的模拟值如图1~4及表1所示。

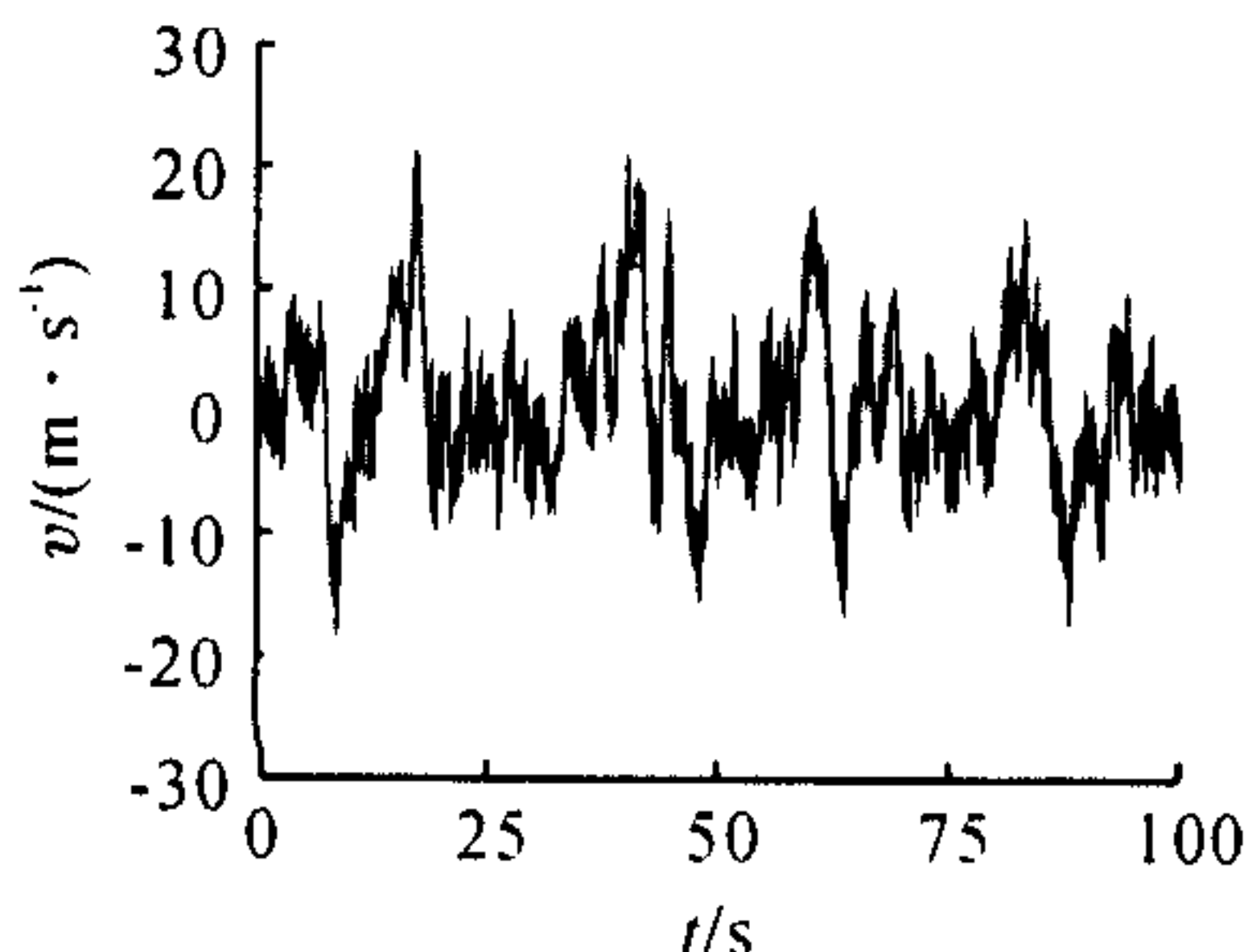


图1 水平脉动风速时程

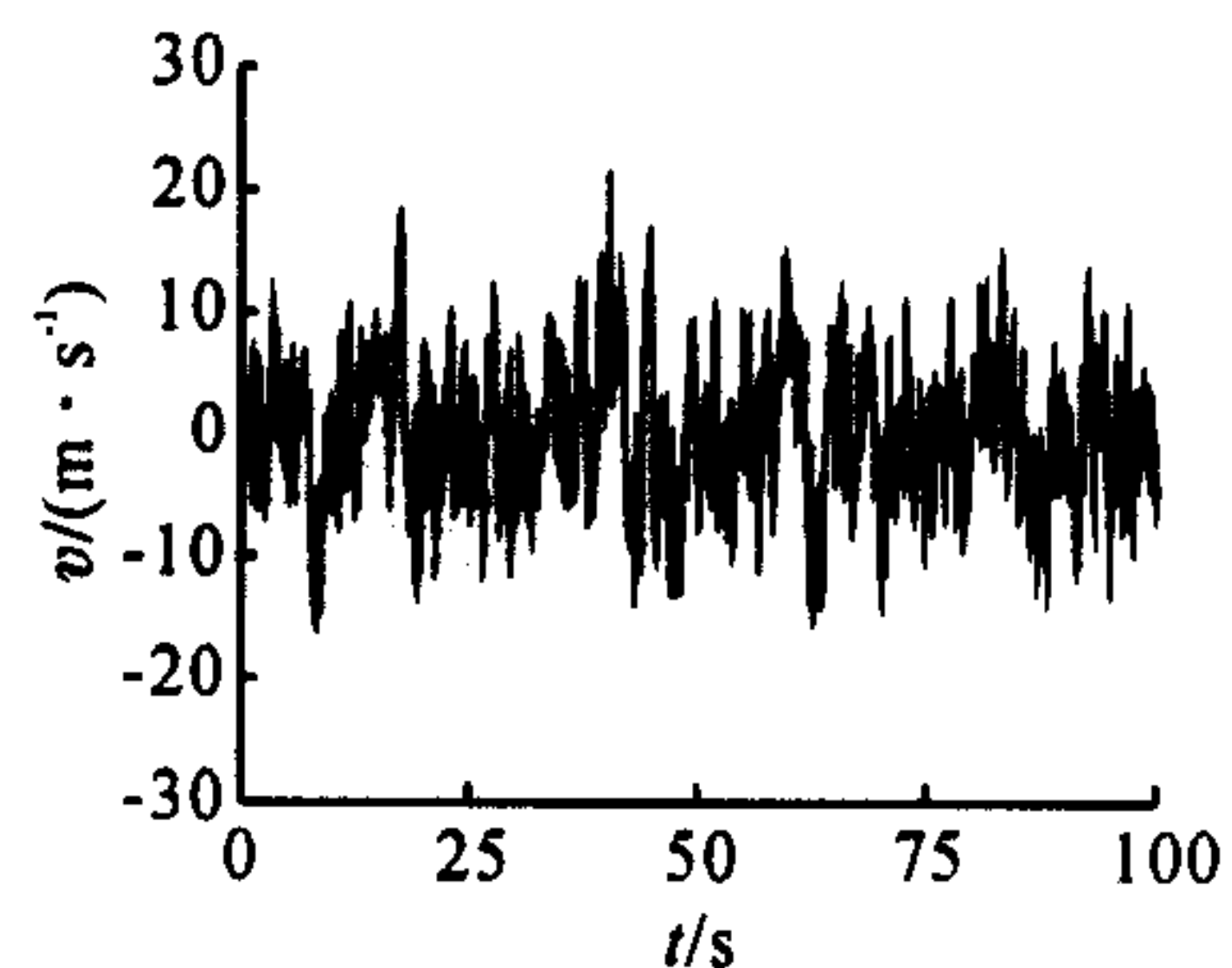


图2 竖向脉动模拟风速时程

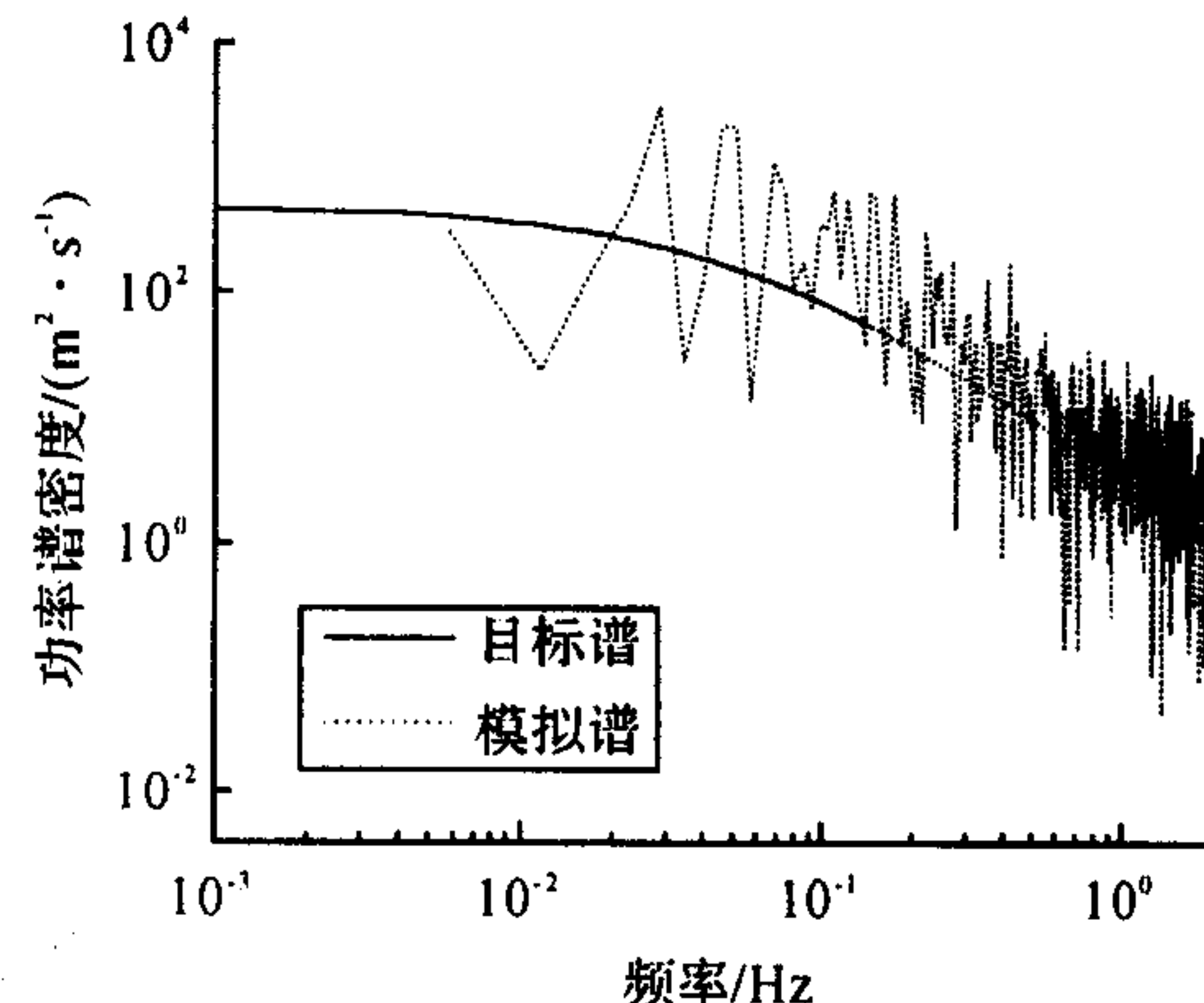


图3 水平脉动风速模拟谱和目标谱

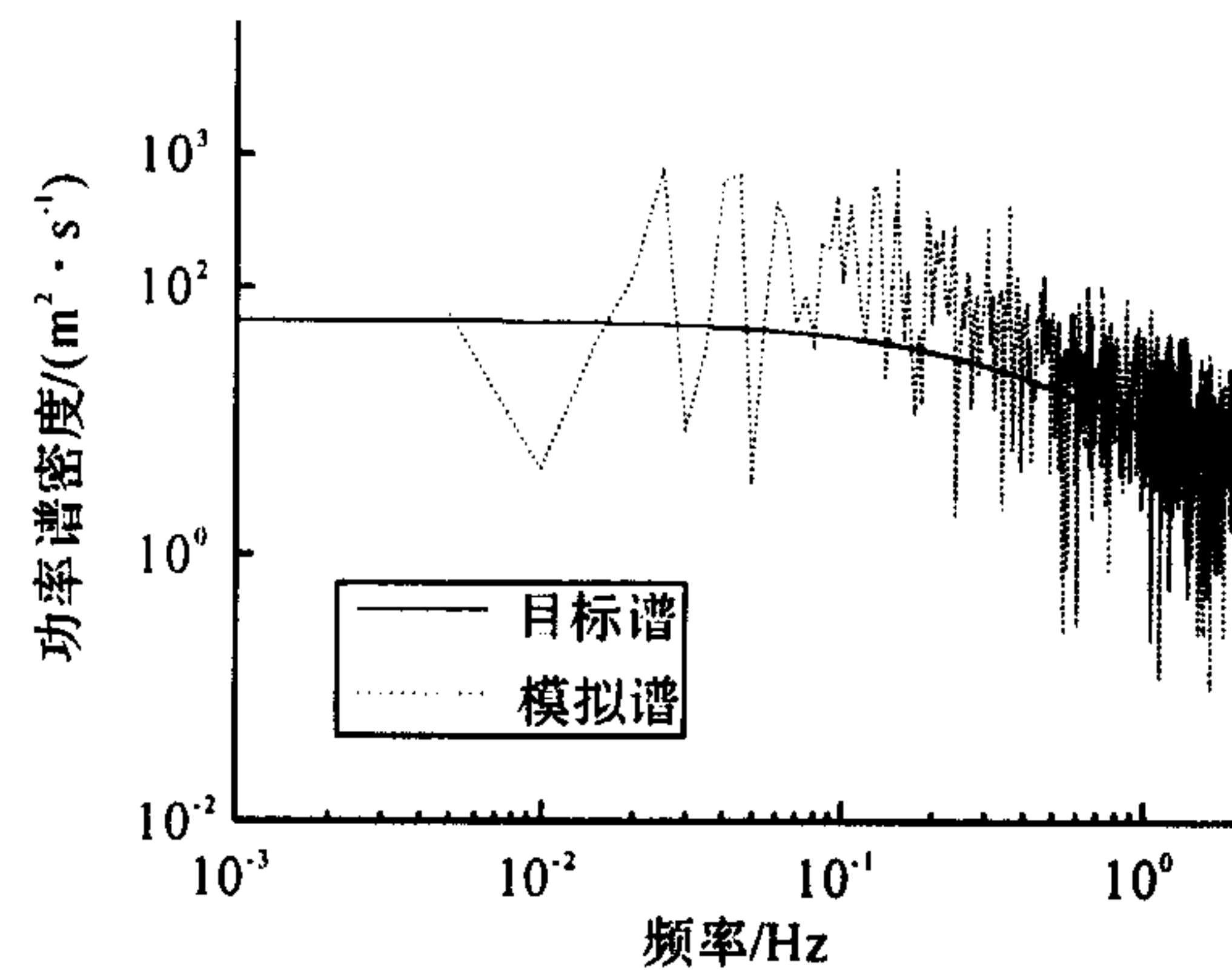


图4 竖向脉动风速模拟谱和目标谱

表1 模拟脉动风速时程统计数据

工况	目标风速		模拟风速	
	均值	均方差	样本均值	样本均方差
水平脉动风	0.00	5.966 1	0.211 4	6.170 6
竖直脉动风	0.00	5.728 0	0.246 6	5.977 7

## 2 斜拉网格结构的风振分析

本文采用多单元法分析拉索,用多段直线杆单元和抗弯刚度很小的梁单元来模拟曲线索。通过AR法模拟各点风速,对如图5所示斜拉网格结构进行风振响应分析。其中水平风的基本风速为25 m/s,风向如图5(a)所示,即沿负y方向,索和结构各部分的体形系数参照规范取值;竖向风静风载近似取水平风的0.18倍。

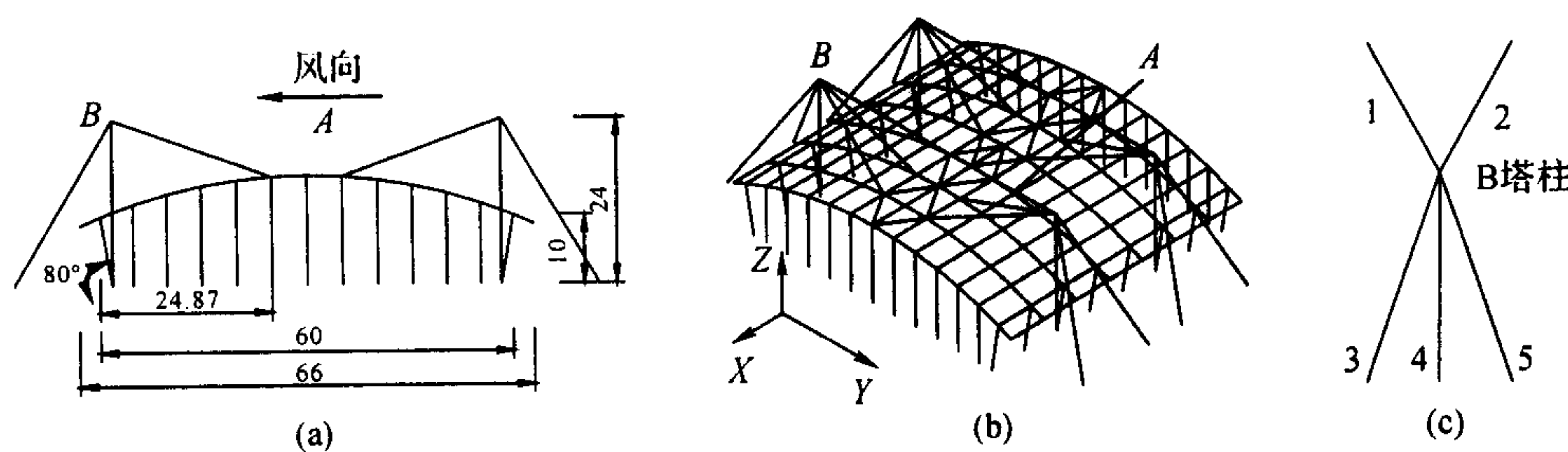


图5 斜拉网格结构

结构的基本参数为: 跨度 60 m, 横向长度 56 m, 塔柱高 24 m, 矢跨比 1/10。网格构件为工字钢, 跨度方向主梁截面为 800 mm × 250 mm × 25 mm, 拉索位置的横向次梁为 300 mm × 300 mm × 15 mm, 其余横向次梁为 200 mm × 200 mm × 10 mm, 柱距 8 m, 柱高 10 m, 截面为 600 mm × 20 mm 圆钢管, 与地面夹角 80°。塔柱截面为 800 mm × 20 mm 圆钢管。拉索的布置如图 5(a), 5(c) 所示, 拉索预应力统一施加 0.4% 的初应变。

结构分别在水平风载和水平加竖向风载作用时, A 点和 B 点处柱顶及拉索响应的均值和方差的计算结果见表 2、3。其中, 以结构在自重作用下的平衡状态为初态, 在不考虑索风振时, 斜拉网格结构的

拉索用单根拉杆等代; 考虑索风振时, 斜拉网格结构的拉索用多单元法模拟(20 个杆单元)。

表2 无拉索网格与斜拉网格结构风振响应的均值  $\bar{x}$  和方差  $\sigma$ 

结构响应位置	B 点水平位移 /mm		A 点竖向位移 /mm	
	$\bar{x}$	$\sigma$	$\bar{x}$	$\sigma$
无拉索网格	0.00	0.00	126.46	31.57
水平风	斜拉网格	10.31	2.07	87.29
	斜拉网格 (考虑索风振)	10.28	2.06	87.344
水平风 + 竖向风	无拉索网格	0.00	0.00	164.14
	斜拉网格	10.58	2.77	113.31
竖向风	斜拉网格 (考虑索风振)	10.59	2.76	113.37
				34.11

表3 B 塔柱处 5 根拉索轴力风振响应的均值  $\bar{x}$  和  $\sigma$  方差

工况	1 号索 /kN		2 号索 /kN		3 号索 /kN		4 号索 /kN		5 号索 /kN		
	$\bar{x}$	$\sigma$									
水平风	不考虑索风振	880.09	25.06	961.63	12.46	410.21	4.00	264.07	12.77	326.24	11.06
	考虑索风振	880.04	25.04	961.58	12.46	410.37	4.01	264.37	12.74	326.4	11.06
水平风 + 不考虑索风振	852.77	35.51	947.78	18.04	412.6	5.85	250.23	18.87	314.78	16.14	
竖向风 考虑索风振	852.74	35.49	947.73	18.03	412.74	5.85	250.56	18.82	314.93	16.13	

注: 索的最大风振位移响应, 1、2、3 号索在其与网格连接处, 4、5 号索在柱顶。

由表 2、3 可以得到以下结论:

(1) 在结构中, 网格部分的脉动响应较显著, 而塔柱和拉索的脉动响应不显著。与无拉索的网格结构相比, 斜拉网格结构的脉动位移响应减小。A 点在斜拉网格中的脉动响应, 比在无拉索网格中的脉动响应减少了约 1/3。

(2) 拉索的风振对斜拉网格结构的风振响应影

响不显著, 其对均值和方差的影响程度不超过 0.8%。拉索的脉动响应与位置有关, 如 3 号索由于距边柱较近, 脉动响应较小。

为了深入探讨斜拉网格结构的风振特性, 在考虑水平与竖向风力共同作用的情况下, 对结构风振响应作参数分析。以下仅通过改变斜拉索的初应变(即改变其预应力水平)对结构进行分析, 结果如表 4、5 所示。

表4 索初应变与风振位移响应的均值  $\bar{x}$  和方差  $\sigma$ 

索初应变 /%	B 点位移 /mm		B 点位移 /mm		A 点位移 /mm		A 点位移 /mm	
	不考虑索风振		考虑索风振		不考虑索风振		考虑索风振	
$\bar{x}$	$\sigma$	$\bar{x}$	$\sigma$	$\bar{x}$	$\sigma$	$\bar{x}$	$\sigma$	
2	18.01	3.40	17.97	3.39	115.51	33.01	115.65	33.03
3	13.86	2.89	13.86	2.88	114.30	33.32	114.33	33.31
4	10.58	2.87	10.59	2.86	113.31	34.12	113.37	34.11
5	8.17	2.77	8.18	2.76	112.13	35.33	112.10	35.31

表 5 索初应变与 5 根拉索轴风振力响应的均值  $\bar{x}$  和方差  $\sigma$ 

索初应变 %	1 号索 / kN		2 号索 / kN		3 号索 / kN		4 号索 / kN		5 号索 / kN	
	$\bar{x}$	$\sigma$								
2 不考虑索风振	444.50	34.75	482.69	18.15	205.66	5.66	133.68	19.10	166.56	15.81
	444.80	34.60	482.94	18.08	205.77	5.53	134.45	18.71	166.71	15.81
3 不考虑索风振	647.97	34.87	714.99	18.05	309.25	5.71	191.70	18.93	240.43	15.85
	647.85	34.82	714.94	18.02	309.41	5.68	192.10	18.82	240.53	15.85
4 不考虑索风振	852.77	35.51	947.78	18.04	412.60	5.85	250.23	18.87	314.78	16.14
	852.46	35.49	947.61	18.03	412.80	5.85	250.47	18.82	314.85	16.13
5 不考虑索风振	1058.88	36.60	1181.05	18.12	515.71	6.07	309.23	18.90	389.59	16.64
	1058.43	36.58	1180.80	18.11	515.94	6.08	309.40	18.87	389.64	16.63

计算结果表明, 拉索预应力提高后, 网格部分的脉动响应有所增加, 而塔柱和拉索的脉动响应则减小, 而拉索的脉动响应主要与其位置有关。总体看拉索预应力对结构的脉动响应的影响不显著。其次, 在不同的拉索预应力下, 拉索风振对结构各部分风振响应的影响均很小。

### 3 结 论

(1) 在斜拉网格结构中, 网格部分的脉动响应较显著; 与无拉索的网格结构相比, 斜拉网格结构的脉动响应较小。

(2) 在索的不同预应力水平下, 考虑拉索风振与不考虑索风振, 结构的风振响应差别较小。拉索的脉动响应主要与其所处的位置有关。

### 参考文献:

- [1] 董石麟. 预应力大跨度空间钢结构的应用与展望[J]. 空间结构, 2001, 7(4): 3-13.
- [2] 黄炳生, 吕志涛, 黄林, 等. 斜拉空间网格结构在我国的研究和应用[J]. 南京建筑工程学院学报, 2000, 53(2): 59-63.
- [3] 周岱, 刘红玉, 李春祥. 拉索-网壳结构的动力特性和非

线性动力反应[J]. 振动与冲击, 2002, 21(1): 7-12.

- [4] 周岱, 舒新玲, 周笠人. 大跨空间结构风振响应及其计算与试验方法[J]. 振动与冲击, 2002, 21(4): 7-18.
- [5] 黄本才, 王国砚, 林颖儒, 等. 体育场屋盖结构静动力风荷载实用分析方法[J]. 空间结构, 2000, 6(3): 33-39.
- [6] 朱川海, 黄本才, 顾明. 基于 ANSYS 二次开发研究斜拉索挑篷结构的非线性风致响应[J]. 结构工程师, 2002(4): 40-47.
- [7] BEN Kahla N. Dynamics of a single guy cable[J]. Computers and Structures, 1995, 54(6): 1197-1211.
- [8] RAID Karoumi. Some modeling aspects in the nonlinear finite element analysis of cable supported bridges [J]. Computers and Structures, 1999, 71: 397-412.
- [9] SIMIU E, SCANLAN E H. Wind Effect on Structure [M]. New York: McGraw-Hill, 1986.
- [10] 王之宏. 风荷载的模拟研究[J]. 建筑结构学报, 1994, 15(1): 44-52.
- [11] IANNUZZI A, SPINELLI P. Artificial Wind Generation and Structural Response[J]. Journal of Structural Engineering ASCE, 1987, 113(12): 2382-2398.
- [12] 王吉民, 李琳. 脉动风的计算机模拟[J]. 浙江科技学院学报, 2005, 17(1): 34-37.